



## شیمی برخی از کانی‌های موجود در باтолیت گرانیتوئیدی شیرکوه، جنوب غرب یزد

مریم شیبی<sup>۱\*</sup>، داریوش اسماعیلی<sup>۲</sup>

۱- دانشکده علوم زمین، دانشگاه صنعتی شاهروود

۲- دانشکده زمین‌شناسی، پردیس علوم، دانشگاه تهران

(دریافت مقاله: ۹۱/۱/۱۷، نسخه نهایی: ۹۱/۵/۵)

**چکیده:** باтолیت گرانیتوئیدی نوع S شیرکوه که بخشی از زون ساختاری ایران مرکزی را در جنوب‌غربی شهرستان یزد تشکیل می‌دهد، از سه واحد گرانودیوریتی، مونزوگرانیتی و لوکوگرانیتی تشکیل شده است. تغییرات ترکیبی مشاهده شده در پلاژیوکلازها نشان می‌دهد که گرانودیوریت‌ها، مذاب‌های غنی از پلاژیوکلازهای با مرکز کلسیک، مونزوگرانیت‌های مذاب جدا شده از گرانودیوریت‌ها و لوکوگرانیت‌ها مذاب‌های باقی‌مانده تا خیری هستند. به طور کلی، همه‌ی بیوتیت‌های مورد بررسی دارای  $\text{Al}^{IV}$  بالا هستند (۶۲٪) (در برآمدۀ فرمولی)، که از مشخصات شاخص گرانیت‌های پرآلومین است. گارنت‌های غنی از آلماندن نیز به انواع گارنت‌های ماقمایی اتم بر واحد فرمولی) موجود در توده‌های نفوذی پرآلومین شباهت دارند. هر دو نوع مسکویت اولیه و ثانویه نیز در گرانیت‌های شیرکوه دیده می‌شوند. غالباً مونازیت‌های باтолیت گرانیتی شیرکوه از دو عضو پایانه‌ی مونازیت و برابانتیت  $[\text{CaTh}(\text{PO}_4)_2]$  تشکیل شده‌اند. حضور دانه‌های همگن شکل‌دار بزرگ مونازیت فقیر از Th و همراه با بلورهای ریز برایانتیت درون و در سطح آپاتیت با انواع مونازیت‌های حاصل از اتحال ناجور آپاتیت طی آناتکسی سنگ‌های رسوبی-دگرگون همخوانی دارد. محتوای کمتر از ۱۰٪ هماتیتی که در کانی‌های کدر همراه با مجموعه‌ی بیوتیت  $\pm$  سیلیمانیت در برگرفته شده است به شرایط احیایی اعمال شده از یک خاستگاه رسوبی دارای گرافیت وابسته است. با توجه به مجموعه‌ی کانی‌های موجود در باтолیت شیرکوه، حضور بیوتیت‌های رستیتی و نیز دمای تشکیل گرانیت یاد شده (به طور متوسط ۸۲۰ درجه‌ی سانتی‌گراد) که بر اساس دمای اشباع شده از زیرکن بدست آمده است می‌توان ادعا کرد که گرانیت یاد شده از ذوب بخشی بیوتیت در دمای در حدود ۷۵۰ تا ۸۵۰ درجه‌ی سانتی‌گراد به وجود آمده است.

**واژه‌های کلیدی:** گارنت، بیوتیت، مونازیت، پرآلومین، گرانیت شیرکوه.

شده‌اند، محتوای  $\text{CaO}$  کمتر از ۴ درصد وزنی) در مقایسه با انواع گارنت‌های مشاهده شده در سنگ‌های آتشفسانی متآلومین (نوع I) دارند [۱]. همچنین حضور بلورهای خود شکل گارنت در سنگ‌های آتشفسانی نشانه‌ی صعود سریع ماقما و یا تعادل گارنت با ماقمای میزان است [۲]. بدین ترتیب ترکیب و شرایط تشکیل ماقما را می‌توان بر اساس ترکیب شیمی گارنت برآورد کرد. در این پژوهش تلاش شد تا پس از ارائه مختصه از ویژگی‌های صحرایی، سنگ‌نگاری و نتایج حاصل از آنالیز ریزپردازشی کانی‌های سازنده، شرایط تشکیل باтолیت گرانیتوئیدی شیرکوه مورد بررسی قرار

**مقدمه** به کارگیری فن تجزیه نقطه‌ای تک کانی، یکی از مهم‌ترین عوامل موثر در شکل‌گیری و پیشرفت علم سنگ‌شناسی است. زیر بررسی‌های کانی‌شناسی می‌تواند نقش به سزاگی در تکمیل شکل‌گیری‌های سنگ‌شناختی و تعیین شرایط دما و فشار توده‌های نفوذی ایفا کند. از موارد کاربرد این روش می‌توان به شناسایی کانی‌ها و تعیین فرمول شیمیایی دقیق آن‌ها، تشخیص سرشتی‌های کانی‌شناسی نمونه و بررسی چگونگی پراکندگی و توزیع عناصر در یک فاز مشخص اشاره کرد. به عنوان مثال گارنت‌هایی که از ماقمای پرآلومین نوع S متبادر

rstیت باشند. کوارتز نیز با موسکویت اولیه و مقادیر کمتر ارتوز همراه شده‌اند. زیرکن، آپاتیت، مونازیت و ایلمنیت به صورت ادخال در بیوتیت و مقادیر ناچیزی از تورمالین کانی‌های فرعی این واحد را تشکیل می‌دهند.

مونزوگرانیت‌ها بزرگترین واحد و بدنه‌ی اصلی این باتولیت را تشکیل داده و از سنگ‌های مافیکتر کردیریت‌دار تا انواع فلزیکتر جدا شده‌ی دارای موسکویت، تغییر می‌کنند (شکل ۱). از نظر سنگنگاری، سنگ‌های کردیریت‌دار که بخش‌های شرقی‌تر را به خود اختصاص داده‌اند از کوارتز، پلازیوکلاز و ارتوز تشکیل شده‌اند. بیوتیت به دو صورت ورقه‌های مجرا و یا دانه‌های کوچک<sup>±</sup> سیلیمانیت همراه با بیوتیت‌ها یا بلورهای پلازیوکلاز دیگر مشاهده می‌شود. بیوتیت‌های درشت بلور دارای رنگ قهوه‌ای متمایل به سرخ بوده و دارای ادخال‌های آپاتیت، زیرکن، مونازیت و ایلمنیت هستند. انواع کوچک نیز با سوزن‌های سیلیمانیت همراه بوده و به عنوانrstیت در نظر گرفته می‌شوند. کردیریت و گارنت فراوان ترین کانی‌های فرعی هستند. در سنگ‌های جدا شده این واحد، گریزندگی آب به حدی رسیده است که بلورهای کردیریت با مگما واکنش کرده و موسکویت به علاوه کلریت را به وجود آورده است [۵]. پرهنیت نیز در راستای رخ‌های بیوتیت گسترش یافته است.

واحد لوکوگرانیتی نیز با رنگ سفید در صحراء در حاشیه‌ی غربی باتولیت رخنمون دارد (شکل ۱). به طور کلی، این سنگ‌ها ظاهری خرد شده داشته و با عدم حضور کانی‌های کدر از واحدهای دیگر تمیز داده می‌شوند. لوکوگرانیت‌ها اساساً شامل کوارتز، ارتوز، پلازیوکلاز سدی (محتوای آلبیت بیش از ۸۰٪) و به مقدار کمتر بیوتیت تشکیل شده‌اند. بافت گرانوفیر و حضور دو کانی موسکویت و تورمالین در این واحد، محتوای بالاتر آب را نشان می‌دهد.

#### شیمی کانی‌ها

مجموعه‌های کانیایی موجود در هر سه واحد شامل کانی‌های پلازیوکلاز، کوارتز، ارتوز، بیوتیت، موسکویت به همراه کانی‌های گارنت، کردیریت، سیلیمانیت، زیرکن، مونازیت و اکسیدهای آهن (به ویژه ایلمنیت) هستند. با بررسی‌های دقیق سنگنگاری مشخص شد که هر یک از این کانی‌ها در بخش‌های مختلف باتولیت سهم متفاوتی را به خود اختصاص داده‌اند که در شکل ۱ طرح وار نشان داده شده است. در اینجا، جزئیات کانی‌شناسی و مفاهیم سنگ‌شناسی هر یک از کانی‌ها ارائه می‌شود. لازم به توضیح است که در این پژوهش برخی از نتایج ارائه شده در [۴] نیز استفاده شده است.

گیرد.

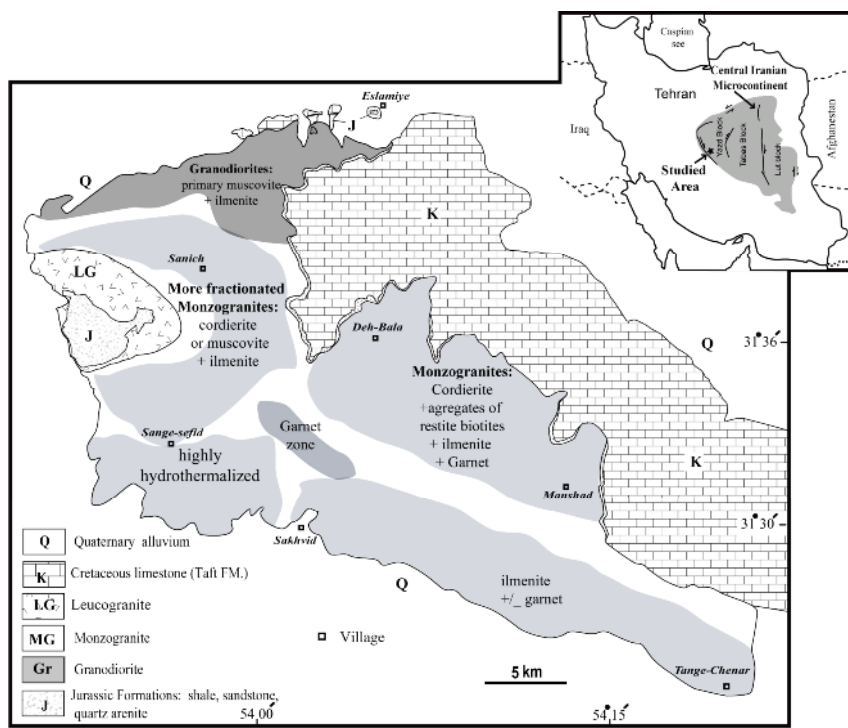
#### روش بررسی

در این پژوهش به منظور بررسی ژئوشیمیایی کانی‌های موجود در باتولیت گرانیتوئیدی شیرکوه بزد، نمونه‌هایی از ترکیب‌های مختلف سنگی انتخاب و پس از تهیه مقاطع نازک- صیقلی مورد بررسی کانی‌شناسی قرار گرفته‌اند. آنالیزهای موجود با یک ریز پردازنده‌ی الکترونی مدل Cameca-SX50 در آزمایشگاه میکروسوند دانشگاه پول ساپاتیه شهر تولوز فرانسه انجام شده است. در طول این بررسی‌ها، ولتاژ شتاب دهنده دستگاه KV ۱۵ و شدت جریان ۳۰ nAmp بوده است. همچنین با استفاده از یک میکروسکوپ الکترونی (مدل Jeol - JSM 6360) در آزمایشگاه یاد شده) تعدادی تصاویر الکترونی از کانی مونازیت برای بررسی شکل، ابعاد و ساختار درونی آن تهیه شدند. آنالیزهای عناصر اصلی و کمیاب استفاده شده در محاسبه‌ی دمای اشباع از زیرکن به ترتیب با استفاده از روش ICP-AES در آزمایشگاه‌های ژئوشیمی مرکز تحقیقات ژئوشیمی نانسی، و دستگاه ICP-MS ICP-MS دانشگاه پول ساپاتیه شهر تولوز فرانسه انجام گرفت.

#### زمین‌شناسی عمومی

باتولیت گرانیتوئیدی شیرکوه در فاصله‌ی ۴۰ کیلومتری جنوب غربی بزد و در موقعیت جغرافیایی ۲۵° ۳۱' ۴۵" تا ۳۱° ۵۲' ۵۴" طول شرقی قرار دارد. بر اساس تقسیم‌بندی واحدهای ساختاری- رسوبی ایران [۳]، گسترده‌ی مورد بررسی در محدوده‌ی ایران مرکزی قرار می‌گیرد. با توجه به این که باتولیت گرانیتوئیدی شیرکوه سازند نایبند- شمشک با سن تریاپس بالایی را در مجاورت خود دگرگون کرده و از طرف دیگر سازند سنگستان با رخساره‌ی ماسه سنگی و با سن ژوراسیک پسین روی آن نهشته شده است؛ سن نسبی این باتولیت را می‌توان به رویدادهای همزمان با سیمین پسین نسبت داد. آنالیزهای ایزوتوپی U-Pb که اخیراً روی تعدادی از زیرکن‌های گرانیت شیرکوه انجام شد، سن ۱۳۶±۵ میلیون سال را نشان می‌دهد (حسن‌زاده، گفتگوی شفاهی).

باتولیت یاد شده از سه واحد گرانوودیوریتی، مونزوگرانیتی و لوکوگرانیتی تشکیل شده است. واحد گرانوودیوریتی به حاشیه‌ی شمالی باتولیت محدود شده و از نظر کانی‌شناسی دارای پلازیوکلاز فراوان است (شکل ۱). بیوتیت تنها کانی مافیک تشکیل دهنده‌ی این واحد است که به دو صورت مشاهده می‌شود: ۱) بیوتیت‌های ورقه‌ای و درشت و ۲) انواع ریزدانه که با بیوتیت‌های درشت‌تر پوشیده شده و به نظر می‌رسد قطعاتی از



شکل ۱ نقشه‌ی زمین‌شناسی ساده از باتولیت گرانیتوئیدی شیرکوه. مونزوگرانیتها به عنوان بزرگترین واحد و بدنه‌ی اصلی این باتولیت از سنگ‌های مافیک‌تر کردیریت‌دار در بخش‌های شرقی تا انواع فلسیک تغییر یافته‌تر دارای موسکویت در حاشیه غربی تغییر می‌کنند.

کانی‌های رستیتی را در بخش‌های مافیک‌تر این گرانیتها تشکیل می‌دهند مشاهده شده است. در مواردی سوزن‌های سیلیمانیت درون این انباشت‌های بیوتیتی باقی مانده‌اند. چاپل و همکاران [۶] رستیت‌های اولیه را به صورت بلورهای باقی مانده از خاستگاه تعریف کرده‌اند. همه‌ی این بیوتیت‌ها دارای  $\text{AlIV}$  بالا هستند ( $2/2$  تا  $6/2$  اتم بر واحد فرمولی) که سرشتی گرانیتهاي پرآلومین است [۷].  $\text{XMg}$  در بیوتیت‌های ورقه‌ای از  $0.32$  تا  $0.37$  و در انواع کوچکتر از  $0.34$  تا  $0.46$  در تغییر است (جدول ۱). همه‌ی بیوتیت‌ها تقریباً دارای نسبت  $\text{Ti/AlVI} = 0.5$  هستند ولی این مقدار در انواع رستیتی به  $1/3$  می‌رسد. بیوتیت‌های مورد بررسی در نمودار چهارتایی آنیت – سیدروفلیلت – فلوگوپیت – انسنتاتیت (رده‌بندی تروگر [۸]) دارای  $\text{X}_{\text{Fe}} = \text{Fe}/(\text{Fe} + \text{Mg}) \geq 0.33$  بوده و از نوع لپیدوملان محسوب می‌شوند (شکل ۲ الف). بیوتیت‌های رستیتی به دلیل  $\text{X}_{\text{Fe}}$  پایین‌تر به قلمرو فلوگوپیت نزدیک‌ترند. در نمودار عبدالرحمن [۹] همه‌ی این بیوتیت‌ها به جایگاه گرانیتهاي پرآلومین وابسته‌اند، ولی انواع رستیتی در قلمرو آهکی- قلیایي واقع شده‌اند که می‌تواند به دلیل تغییرات احتمالی در دمای تبلور باشد (شکل ۲ ب).

### پلازیوکلاز

نتایج حاصل از آنالیز پلازیوکلازها در جدول ۱ الف ارائه شده‌اند. در واحد گرانوکلوریتی، بلورهای پلازیوکلازی وجود دارند که دارای هسته‌های آهکی نسبتاً یکنواختی بوده و در حاشیه به منطقه‌بندی عادی ختم می‌شوند (جدول ۱ الف،  $\text{S.K11}$ ) در مرکز،  $\text{An}_{41}$  در حاشیه. این هسته‌های آهکی به پلازیوکلازهای باقی مانده از ذوب بخشی شباهت داشته و به دلیل ترکیب یکنواختشان در مرکز بلور به عنوان فازهای رستیتی در نظر گرفته می‌شوند [۶]. در واحد مونزوگرانیتی پلازیوکلازها منطقه‌بندی عادی داشته و از  $\text{An}_{22}$  در حاشیه تا  $\text{An}_{28}$  در مرکز تغییر می‌کند. محتوای آلبیت در لوکوگرانیتها بسیار بالاست و به بیش از ۸۸ درصد وزنی می‌رسد. بنابراین هر چه از واحد گرانوکلوریتی به سمت لوکوگرانیتها نزدیک‌تر می‌شویم محتوای آلبیت افزایش می‌یابد.

### بیوتیت

به طور کلی، بیوتیت تنها کانی مافیک تشکیل دهنده‌ی باتولیت گرانیتی شیرکوه است. این کانی در لوکوگرانیتها، به صورت بلورهای کوچک جداگانه و یا همراه با ورقه‌های موسکویت مشاهده می‌شود. بیوتیت در مونزوگرانیتها به دو صورت بلورهای ورقه‌ای اولیه و یا انباشت‌های کوچک که اصلی‌ترین

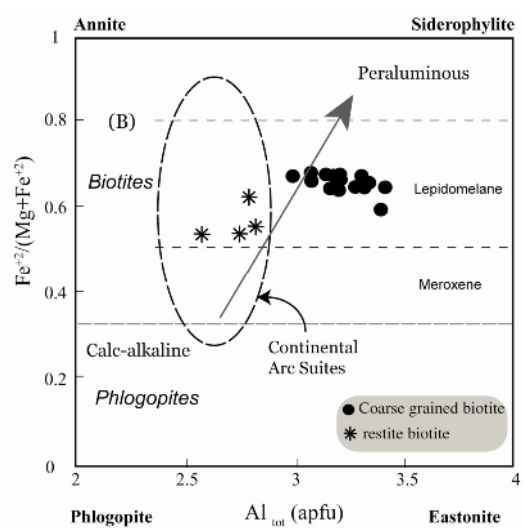
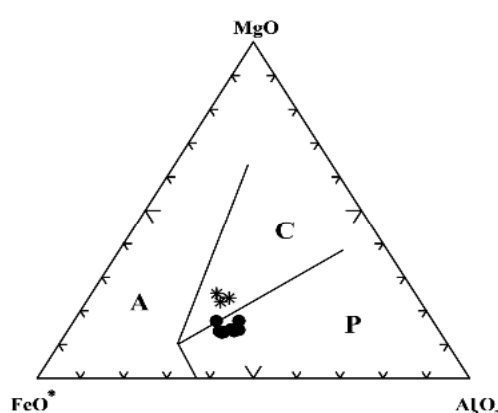
جدول ۱ نتایج آنالیز ریزپردازشی (wt%) کانی‌های پلازیوکلارز، بیوتیت، گارنت، موسکوویت، مونازیت و ایلمینیت از رخساره‌های مختلف با تولیت گرانیتوئیدی شیرکوه.

جدول ۱-الف

شماره آنالیز	پلازیوکلارز			گرانودیوریت			مونزوگرانیت			لوکوگرانیت										
	S.K.۲۳			S.K.۱۱۱			S.K.۵۶			S.K.۱۷۸										
	حاشیه به مرکز- مرکز به حاشیه			مرکز- حاشیه			حاشیه به مرکز- مرکز به حاشیه			حاشیه مرکز										
SiO <sub>2</sub>	۶۱.۲	۵۸.۸	۵۵.۵	۵۶.۸	۵۷.۹	۵۷.۷	۵۷.۵	۵۷.۶	۵۶.۲	۵۶.۵	۵۸.۱	۵۷.۵	۵۹.۱	۶۷.۴	۶۷					
Al <sub>2</sub> O <sub>3</sub>	۲۴.۷	۲۶.۱	۲۷.۷	۲۶.۶	۲۶.۵	۲۶.۸	۲۶.۵	۲۶.۵	۲۷.۲	۲۷.۵	۲۶.۳	۲۶.۳	۲۶	۲۱.۲	۲۱.۶					
Fe <sub>2</sub> O <sub>3</sub>	۰.۱۴	۰.۰۹	۰.۱	۰.۰۷	۰.۱	۰.۰۶	۰.۱۶	۰.۰۸	۰.۱۵	۰.۰۳	۰.۰۹	۰.۱۲	۰.۱۲	۰.۰۷	۰.۱۷					
CaO	۶.۴۷	۸.۱۹	۱۰.۲	۹.۵۵	۸.۸۴	۸.۴۸	۷.۶۸	۷.۷۲	۸.۹۴	۸.۷۷	۸.۷۹	۸.۸۶	۸.۹۱	۷.۹۱	۰.۷۸	۰.۶۱				
Na <sub>2</sub> O	۸.۱۱	۷.۳۹	۵.۹۱	۶.۶۳	۶.۷۵	۶.۵۶	۷.۵۸	۶.۸۱	۷.۵۵	۶.۴۸	۶.۳۵	۶.۵۶	۶.۱۶	۶.۹۲	۱۰	۰.۷۱				
K <sub>2</sub> O	۰.۲۳	۰.۱۶	۰.۴	۰.۲۵	۰.۱۵	۰.۱۵	۰.۱۶	۰.۲۴	۰.۲۲	۰.۰۵	۰.۴۶	۰.۴۶	۰.۷۱	۰.۳۹	۰.۸۵					
Total	۱۰.۱	۱۰.۱	۹۹.۸	۹۹.۹	۱۰۰	۹۹.۹	۱۰.۱	۱۰.۱	۱۰.۰	۹۹.۷	۱۰.۱	۱۰.۱	۹۹.۷	۱۰.۱	۱۰.۲	۱۰.۱				
An%	۳۰.۲	۳۷.۷	۴۷.۸	۴۳.۷	۴۱.۶	۴۱.۱	۴۱.۴	۴۱.۳	۴۱.۵	۳۸.۸	۲۳.۱	۴۱.۸	۴۷.۲	۴۴.۵	۴۱.۴	۴۵.۵	۴۲.۳	۳۷.۲	۳.۶	۲.۸

جدول ۱-ب

شماره آنالیز	بیوتیت			گرانودیوریت			مونزوگرانیت									
	S.K.۱۱۱			S.K.۱۱			S.K.۲۳			S.K.۵۶		S.K.۴۴				
	Bio1	Bio2	Bio1Bio2	Bio1	Bio2	Bio3	Bio4	Bio1	Bio2	Bio3	Bio1Restite	Restite	Bio2Bio1	Bio2		
SiO <sub>2</sub>	۳۴.۸	۳۵	۳۵.۲	۳۵.۳	۳۴.۸	۳۴.۵	۳۴.۷	۳۳.۹	۳۴.۶	۳۴.۱	۳۴.۷	۳۵.۶	۳۴.۱	۳۵.۶	۳۴.۶	
TiO <sub>2</sub>	۳.۱	۲.۷۶	۲.۴۸	۱.۶۲	۲.۹۹	۲.۶۳	۲.۳۶	۱.۶۸	۲.۶۴	۲.۷۳	۲.۱۷	۲.۹۵	۲.۳۲	۴.۰۴	۲.۶۹	۲.۸۵
Al <sub>2</sub> O <sub>3</sub>	۱۷.۸	۱۸.۲	۱۸	۱۸.۲	۱۶.۱	۱۶.۵	۱۷.۱	۱۸	۱۸.۶	۱۶.۳	۱۵.۱	۱۴.۹	۱۴	۱۴.۷	۱۷.۴	۱۷
FeO	۲۱.۹	۲۲.۴	۲۲.۶	۲۲.۲	۲۲.۲	۲۲.۱	۲۲.۳	۲۱.۱	۲۱.۷	۲۲.۹	۲۲.۶	۲۰.۹	۲۱.۸	۲۲.۳	۲۴.۳	
MgO	۶.۷۹	۶.۵۸	۶.۲۴	۷.۰۴	۶.۴	۶.۱۸	۷.۱۳	۸.۰۴	۷.۷۴	۶.۹۲	۱۰.۳	۱۰.۱	۱۰.۵	۷.۵۶	۷.۲۹	۶.۶۲
CaO	•	•	•	۰.۰۵	۰.۱۲	۰.۱	۰.۱۳	۰.۲	۰.۰۶	۰.۲۳	۰.۱	۰.۳۳	۰.۳۸	۰.۱	•	•
Na <sub>2</sub> O	۰.۱	۰.۱	۰.۱	۰.۰۳	۰.۰۳	۰.۰۹	۰.۰۷	۰.۱۲	۰.۰۷	•	۰.۰۲	۰.۰۹	۰.۲۱	۰.۱۵	۰.۲۶	
K <sub>2</sub> O	۹.۳	۹.۲۲	۹.۱۳	۹.۲۸	۸.۸۳	۹.۰۳	۸.۷	۷.۵۸	۹.۳۹	۸.۶۱	۷.۷۳	۸.۹۹	۷.۹۱	۸.۵	۹.۲۸	۸.۸۷
Sum Ox%	۹۸.۶	۹۸.۷	۹۸.۳	۹۹.۳	۹۸.۶	۹۸.۱	۹۶.۶	۹۸.۸	۹۸.۴	۹۷.۲	۹۷.۴	۹۸.۱	۹۸.۲	۹۶	۱۰۰	۹۹.۲
X <sub>Mg</sub>	۰.۳۶	۰.۳۴	۰.۳۳	۰.۳۵	۰.۳۳	۰.۳۲	۰.۳۶	۰.۴	۰.۳۶	۰.۳۴	۰.۴۵	۰.۴۶	۰.۳۸	۰.۳۶	۰.۳۳	



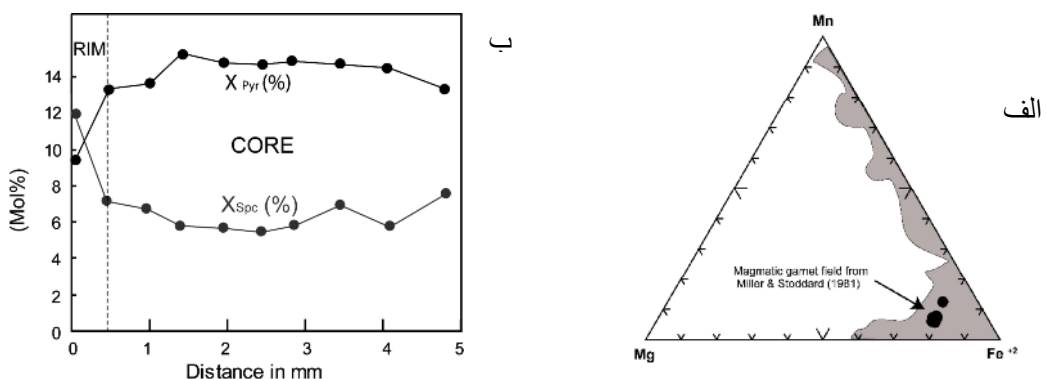
شکل ۲ (الف) رده‌بندی میکاها با استفاده از ترکیب شیمیایی آنها [۸]. ب) نمودار مثلثی اکسیدهای MgO، Al<sub>2</sub>O<sub>3</sub> و FeO\* [۹] برای تعیین محیط زمین‌ساختی گرانیت‌ها با استفاده از اکسیدهای Al<sub>2</sub>O<sub>3</sub>، MgO و FeO\* موجود در ساختار بیوتیت. A: بیوتیت در جایگاه‌های آلکالن غیر کوهزا؛ P: بیوتیت در جایگاه‌های پرآلومین (شامل گرانیت‌های نوع S؛ C: بیوتیت در جایگاه‌های آهکی- قلیایی کوهزا).

(شکل ۳ الف). بخش همگن مرکزی نیز تبلور در دمای بالای  $700^{\circ}\text{C}$  را تداعی می‌کند [۱]. از آنجا که گارنت‌های دگرگون دارای منطقه‌بندی وارون بوده و در مرکز غنی از منگنز هستند بنابراین الگوی منطقه‌بندی گارنت، زون‌های مرکزی فقیر و حاشیه‌ی غنی از Mn را به نمایش می‌گذارد که به انواع گارنت‌های موجود در تودهای نفوذی پرآلومین دیگر، به ویژه انواع ماقمایی که توسط میلر و استارد [۱۱] گزارش شده است اعمق بیشتر از  $25\text{ km}$  همچومنی دارد [۱۲]. بنابراین با توجه به روند پراکندگی این کانی که به بخش خاصی از باتولیت شباهت دارد (شکل ۳ب). ویژگی‌های بافتی و ترکیب شیمیایی آن نشان می‌دهد که این کانی باید از هسته‌بندی مستقیم متوسط ( $6.3\%$ ) است، که در حاشیه‌ها به  $11\%$  افزایش می‌یابد

**گارنت**  
گارنت معمولاً به صورت شش گوش و در مواردی نیز به صورت بلورهای شکل‌دار تا نیمه شکل‌دار همراه یا بدون ادخال‌هایی همچون بیوتیت و کلریت (از بیوتیت) مشاهده شده است. یکی از گارنت‌های موجود در واحد مونزوگرانیتی برای بررسی منطقه‌بندی و تغییرات ترکیبی آن انتخاب و مورد آنالیز ریز ردازشی قرار گرفت. به طور کلی، محتوای آلماندن از  $74.5\%$  تا  $75.9\%$  و مقدار CaO نیز که سازه‌ای اصلی گروسوولار و آندرادیت در ساختار فرمولی است از  $1/2$  تا  $1/35$  در تغییر بوده و غالباً از مرکز به حاشیه کاهش می‌یابد (جدول ۱ج). در حالی‌که محتوای اسپسارتیت در مرکز بلور بین  $5/4$  تا  $7/1\%$  (به طور متوسط  $6.3\%$ ) است، که در حاشیه‌ها به  $11\%$  افزایش می‌یابد

جدول ۱-ج

گارنت	فاصله بر حسب میلیمتر	S.K.۴۴									
		۰	۰.۴	۱	۱.۴	۲	۲.۴	۲.۹	۳.۵	۴.۱	۴.۸
SiO <sub>2</sub>	۳۷	۳۷	۳۷	۳۷	۳۷	۳۷	۳۷	۳۷	۳۷	۳۷	۳۷
TiO <sub>2</sub>	۰	۰.۱	۰	۰	۰	۰	۰	۰	۰.۱	۰.۱	۰
Al <sub>2</sub> O <sub>3</sub>	۲۱	۲۱	۲۱	۲۱	۲۱	۲۱	۲۱	۲۱	۲۱	۲۱	۲۱
Cr <sub>2</sub> O <sub>3</sub>	۰	۰	۰	۰	۰	۰.۱	۰.۱	۰.۱	۰	۰	۰.۱
Fe <sub>2</sub> O <sub>3</sub> (c)	۱.۳	۰.۸	۱.۱	۱.۲	۱.۴	۰.۸	۱.۶	۲.۲	۱.۲	۱.۵	۱.۵
FeO	۳۳	۳۴	۳۴	۳۳	۳۳	۳۴	۳۳	۳۳	۳۳	۳۳	۳۳
MnO	۵.۲	۳.۱	۳	۲.۵	۲.۵	۲.۴	۲.۵	۳	۲.۵	۳.۳	۳.۳
MgO	۲.۴	۲.۴	۲.۵	۲.۹	۲.۷	۲.۷	۲.۸	۲.۷	۲.۷	۲.۷	۲.۴
CaO	۱.۲	۱.۳	۱.۳	۱.۳	۱.۳	۱.۳	۱.۴	۱.۳	۱.۳	۱.۳	۱.۳
Sum Ox%	۱۰۰	۱۰۱	۱۰۱	۱۰۱	۱۰۱	۱۰۰	۱۰۱	۱۰۱	۱۰۱	۱۰۰	۱۰۰
Pyrope	۹.۶	۱۴	۱۴	۱۶	۱۵	۱۵	۱۵	۱۵	۱۵	۱۴	۱۴
Almandin	۷۵	۷۶	۷۶	۷۵	۷۶	۷۵	۷۵	۷۵	۷۶	۷۵	۷۵
Spessartine	۱۲	۷.۲	۶.۷	۵.۸	۵.۷	۵.۵	۵.۸	۶.۹	۵.۷	۷.۶	۷.۶
XMg	۰.۱	۰.۲	۰.۲	۰.۲	۰.۲	۰.۲	۰.۲	۰.۲	۰.۲	۰.۲	۰.۲



شکل ۳ (الف) الگوی رده‌بندی گارنت موجود در واحد مونزوگرانیتی. درصد مولی اسپسارتین و پیروپ (X<sub>Pyr</sub>, X<sub>Sps</sub>) برای بررسی تغییرات عناصر اصلی ترسیم شده است. (ب) ترکیب گارنت (Mn, Fe, Mg) از گرانیت شیرکوه. قلمرو خاکستری ترکیب گارنت از میلر و استارد [۱۱] را نشان می‌دهد.

## مونازیت

کانی‌های گروه مونازیت بر اساس فرمول عمومی  $(B = P, Si \text{ and } A = REE, Y, Th, U, Ca, Pb) ABO_4$  در یک سیستم سه‌تایی به کانی‌های مونازیت  $(LREEPO_4)$ -هوتونیت  $(ThSiO_4)$ -برابانتیت  $[CaTh(PO_4)_2]$  تقسیم می‌شوند. کانی‌هایی که ترکیب حدوداً بین مونازیت-برابانتیت، و مونازیت-هوتونیت دارند به ترتیب به عنوان مونازیت‌های چرالیت  $[LREE, Ca, Th, U](P, Si)_04$  و هوتونیتی خوانده می‌شوند [۱۸].

این کانی تنها در گرانوپوریت‌ها و مونزوگرانیت‌های با تولیت شیرکوه مشاهده شد است. در این آنالیزهای، دو عضو انتهایی مونازیت و برابانتیت  $[CaTh(PO_4)_2]$  سازه‌های اصلی این گروه هستند (جدول ۱ م و شکل ۴) و بر اساس محتوای  $CaO$  به دو گروه تقسیم شده‌اند: ۱) مونازیت‌های دارای کمتر از ۳/۲۵ درصد وزنی  $CaO$  که به سیستم مونازیت-چرالیت-هوتونیت وابسته‌اند و ۲) انواع با بیش از ۱۸/۸ درصد وزنی  $CaO$  که دارای ترکیب برابانتیت است. در این پژوهش به منظور بررسی ساختار درونی مونازیت (یعنی شکل، منطقه‌بندی و ادخال‌های آن) بیش از ۳۰ تصویر از نمونه‌های مختلف با استفاده از یک ریز پردازنده الکترونی برداشت شده‌اند. غالباً آن‌ها خودشکل بوده و اندازه‌ی آن‌ها از ۱۰ تا ۳۰ میکرون تغییر کرده و به صورت دانه‌های همگن شکل‌دار در سطح و درون آپاتیت مشاهده شده‌اند (شکل ۵). بعضی از آن‌ها نیز بی‌شکل بوده، زوایای گرد شده دارند و فاقد هر گونه منطقه‌بندی هستند. از نظر ترکیبی این مونازیت‌ها به گروه اول وابسته‌اند. مونازیت‌های گروه دوم به صورت بلورهای بسیار ریز برابانتیت (کوچکتر از ۱ تا ۲ میکرومتر) درون آپاتیت مشاهده شده‌اند. هر دوی آن‌ها از REE غنی ولی از Th و U تهی هستند. در سنگ‌های دگرگونی، مونازیت‌های قبیر از توریوم به عنوان شاهدی از پتانسیل خاستگاه که می‌تواند حاوی الانیت، تیتانیت و آبسویی یا جایگزینی فلورآپاتیت باشد به کار می‌رودن [۱۹]. این عامل معیاری برای تشخیص انواع مونازیت‌های حاصل از انحلال ناجور آپاتیت طی آناتکسی سنگ‌ها [۲۰] و انواعی که به طور مستقیم از ماقما متبلور می‌شوند در نظر گرفته می‌شود. غالباً محتوای Th موجود در مونازیت ماقمایی بیش از ۲ تا ۴ درصد وزنی است [۲۱]، ولی در مورد نمونه‌های مورد بررسی، این مقدار به کمتر از ۰/۱ درصد می‌رسد (جدول ۱). بنابراین با انواع مونازیت‌های حاصل از کانی‌های فسفاتی در سنگ‌های دگرگونی با دمای بالا همخوانی دارد.

ماگماهای پرآلومین در تعادل با فازهای جامد دیگر همانند بیوتیت تشکیل شده باشد. گارنت غنی از آلماندن با تبلور در محدود شده و در شکل ۱ نشان داده شده‌ایم، می‌توان گفت که این کانی در مراحل نهایی تبلور و در پاسخ به افزایش محتوای Mn تشکیل شده است. هر چند که حضور آلومینوم اضافی نیز برای تبلور آن الزامی بوده است [۱۳].

## موسکویت

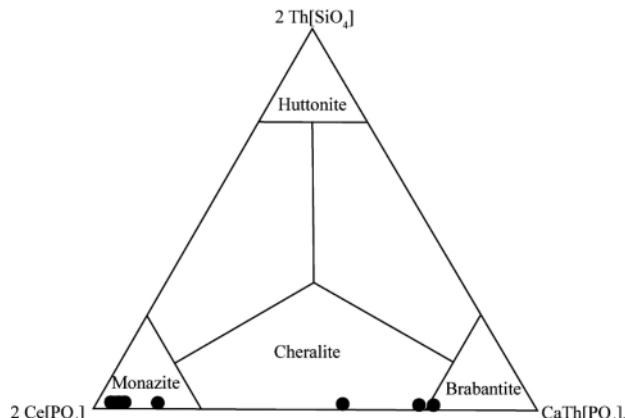
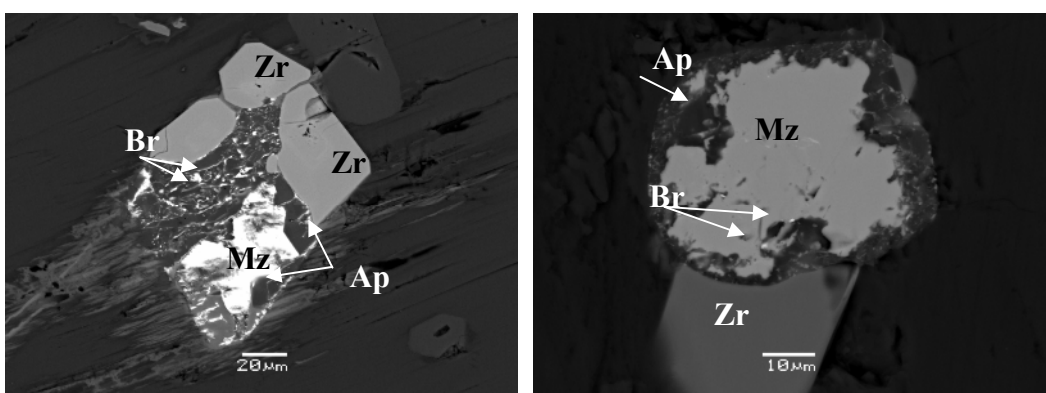
بر اساس شواهد سنگنگاری میلر و همکاران [۱۴]، باربارن [۱۵] و اسپیر [۱۶] مهم‌ترین معیارهای تشخیص موسکویت-های اولیه و ثانویه به قرار زیرند: ۱) موسکویت‌های اولیه در مقایسه با فازهای دیگر، درشت بلور بوده و می‌تواند همانند بیوتیت به عنوان فاز اصلی محسوب شود؛ ۲) انتهای بلورها صاف بوده و می‌تواند به صورت شکل‌دار یا نیمه شکل‌دار باشد؛ ۳) درون کانی‌های دیگر قرار نگرفته باشد؛ ۴) هیچ بافت واکنشی با کانی‌های دیگر اطراف نشان نداده و ۵) در سنگ‌های سالم و فاقد هرگونه دگرسانی مشاهده شود. مشاهدات سنگ-نگاری وجود هر دو نوع موسکویت اولیه و ثانویه را در گرانیت‌های شیرکوه اثبات می‌کند. جدول ۱ د اختلاف ترکیبی درون یک نمونه از واحد گرانوپوریتی را نشان می‌دهد (S.K11). اگرچه انواع اولیه و ثانویه در ظاهر به هم شبیه‌اند اما موسکویت‌های اولیه نسبت به ثانویه از Na و Al غنی‌تر و از Mg و Si تهی شده‌اند [۱۴]. نبود  $TiO_2$  در این موسکویت‌ها بدین معناست که آن‌ها ماقمایی نبوده و احتمالاً آلومینیم روی مذاب و تهی شدگی آن از  $FeO$  و  $TiO_2$  طی تبلور جدایشی را نشان می‌دهد [۱۷].

جدول ۱-۵

S.K.11		
موسکویت	ثانویه	اولیه
$SiO_2$	۴۷,۶۵	۴۵,۶۴
$Al_2O_3$	۳۳,۰۲	۳۵,۲۸
FeO	۱,۳۹	۱,۳۸
MgO	۰,۵۸	۰,۵
CaO	۰,۰۲	۰,۰۸
$Na_2O$	۰,۳۹	۰,۶۶
$K_2O$	۱۰,۱۷	۱۰,۲۴
BaO	.	۰,۱۴
NiO	۰,۰۷	.
$H_2O(c)$	۴,۴۳	۴,۲۸
Sum Ox%	۹۷,۷۴	۹۸,۶۲

جدول ۱- م

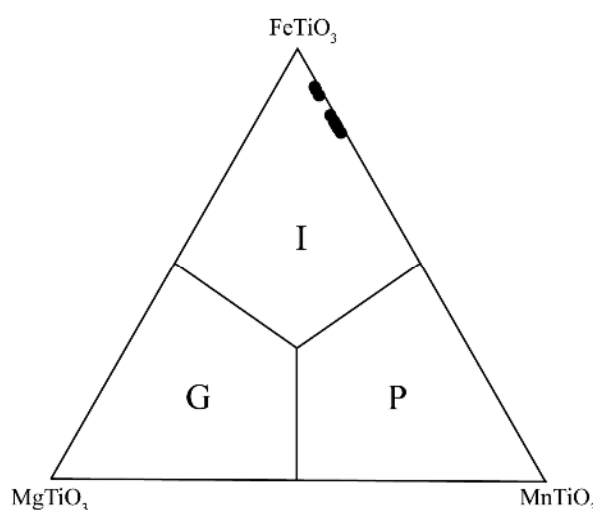
مونازیت	مونزوگرانیت					گرانوپوریت		
	S.K. ۱۱۱					S.K. ۴۴	S.K. ۱۱	
شماره آنالیز	Mon1	Mon2	Mon3	Mon4	Mon5	Mon1	Mon2	
P2O5	۳۰,۴۹	۳۰,۱۵	۳۱,۱۹	۲۶,۵۱	۳۱,۰۷	۳۰,۰۸	۲۰,۸۲	۲۸,۹۴
SiO2	۰,۲۷	۰,۶۴	۰,۳۵	۴,۷۰	۰,۲۵	۰,۳۵	۱,۲۴	۳,۱۵
CaO	۱,۰۰	۰,۷۰	۳,۲۲	۲۷,۸۲	۱,۳۶	۱,۰۷	۱۸,۸۷	۳۰,۹۵
PbO	۰,۰۰	۰,۱۶	۰,۱۵	۰,۰۰	۰,۱۱	۰,۰۰	۰,۰۰	۰,۰۰
ThO2	۵,۴۸	۶,۸۶	۶,۱۸	۱۰,۶۱	۶,۱۶	۶,۷۲	۵,۴۳	۶,۵۸
UO2	۰,۰۰	۰,۰۸	۰,۸۰	۰,۱۰	۰,۳۰	۰,۰۰	۰,۱۰	۰,۲۲
Y2O3	۱,۶۵	۱,۵۷	۲,۰۷	۱,۰۰	۲,۶۰	۲,۷۷	۰,۸۴	۱,۴۸
La2O3	۱۳,۶۲	۱۲,۴۷	۱۲,۲۶	۴,۹۹	۱۳,۰۰	۱۲,۵۷	۹,۲۴	۴,۹۴
Ce2O3	۲۸,۹۲	۲۸,۱۲	۲۵,۷۰	۱۳,۷۵	۲۷,۲۰	۲۷,۰۰	۲۰,۱۰	۱۰,۸۷
Pr2O3	۳,۱۰	۳,۸۸	۲,۹۹	۱,۱۴	۳,۱۹	۳,۰۰	۲,۶۷	۱,۳۵
Nd2O3	۱۲,۱۴	۱۱,۷۰	۱۱,۱۱	۶,۱۳	۱۱,۰۵	۱۰,۴۳	۷,۸۷	۵,۵۳
Sm2O3	۱,۸۹	۱,۴۵	۱,۷۳	۱,۰۸	۱,۸۴	۱,۴۴	۰,۸۶	۰,۷۷
Gd2O3	۱,۶۱	۱,۴۹	۱,۱۹	۰,۷۷	۱,۷۹	۱,۱۱	۰,۷۷	۰,۹۱
Dy2O3	۰,۳۵	۰,۰۸	۰,۵۲	۰,۱۹	۰,۴۴	۰,۵۲	۰,۱۷	۰,۴۰
Total	۱۰۰,۵۳	۱۰۰,۳۵	۹۸,۷۳	۹۸,۷۸	۱۰۰,۴۹	۹۷,۰۸	۹۸,۹۶	۹۶,۰۹
Mon %	۹۰,۲۹	۹۲,۴۰	۷۴,۵۰	۱۴,۹۱	۸۷,۳۵	۸۹,۲۲	۲۷,۶۵	۱۲,۷۵
Crl %	۸,۳۱	۶,۱۳	۲۴,۲۱	۸۴,۵۲	۱۱,۲۴	۹,۳۳	۷۱,۶۵	۸۶,۷۱
Hut %	۱,۴۱	۱,۴۷	۱,۲۹	۰,۵۸	۱,۴۱	۱,۴۵	۰,۷۱	۰,۵۴

شکل ۴ موقعیت مونازیت‌های مورد بررسی در سیستم مونازیت  $[2\text{Th}(\text{SiO}_4)_2]$ , برابانتیت  $[2\text{Ce}(\text{PO}_4)_2]$  و هوتونیت  $\text{CaTh}(\text{PO}_4)_2$ .

شکل ۵ تصاویر میکروسکوپ الکترونی کاتی‌های گروه مونازیت فقیر از Th. بلورهای درشت‌تر مونازیت در سطح آپاتیت و بلورهای ریز برابانتیت (Br) به صورت نقاط سفید مشاهده شده‌اند.

ایلمنیت با فرمول ساختاری  $\text{FeTiO}_3$  بیش از ۷۰٪ و پیروفانیت با فرمول ساختاری  $\text{MnTiO}_3$  بین ۱۰ تا ۲۰٪ اصلی ترین کانی‌های کدر در این باتولیت را تشکیل می‌دهند (جدول ۱). از آنجا که ایلمنیت در گرانیت‌های نوع S کاملاً سالم بوده و تنها به روتیل (و نه به هماتیت) دگرسان می‌شود [۲۲] بنابراین می‌توان محتوای کمتر از ۱۰٪ هماتیت موجود در کانی‌های کدر مجموعه‌ی بیوتیت  $\pm$  سیلیمانیت را به شرایط احیایی اعمال شده از یک خاستگاه رسوبی دارای گرافیت [۲۴] نسبت داد.

**ایلمنیت**  
بلورهای ایلمنیت اولیه که حجم اصلی کانی‌های کدر را تشکیل می‌دهند می‌توانند تبلور مستقیم از مذاب، مشارکت مواد رستیتی و یا بلورهای حاصل از واکنش کانی‌های مافیک سیلیکاتی را نشان دهند. بلورهای ثانویه محصول فرایندهای جایگزینی (مانند جایگزینی بیوتیت با کلریت و موسکویت)، جدایشی، اکسایشی و واکنش‌های کانی‌های سیلیکاتی هستند. شکل ۶ ترکیب شیمیایی ایلمنیت در این باتولیت را در نمودار سه‌تایی  $\text{FeTiO}_3$ - $\text{Fe}_2\text{O}_3$ - $\text{MnTiO}_3$  نشان می‌دهد.



شکل ۶ ترکیب شیمیایی ایلمنیت موجود در گرانیت شیرکوه در نمودار  $\text{MnTiO}_3$ - $\text{FeTiO}_3$ - $\text{MgTiO}_3$ . قلمروهای پیروفانیت (P)، ایلمنیت (I) و ژیکلیت (G) نیز نشان داده شده‌اند [۲۳].

جدول ۱-ن

ایلمنیت شماره آنالیز	گرانو-دیبوریت										مونزو-گرانیت	
	S.K.۱۱		S.K.۲۳								S.K.۵۶	
	Ilm1	Ilm2	Ilm1	Ilm2	Ilm3	Ilm4	Ilm5	Ilm6	Ilm7	Ilm8	Ilm1	Ilm2
SiO <sub>2</sub>	۰/۰۱	۰/۰۵	·	·	۰/۰۶	·	۰/۰۱	۰/۰۱	·	·	۰/۰۵	۰/۰۲
TiO <sub>2</sub>	۵۲/۷	۵۳	۴۵	۴۴/۹	۴۴/۸	۴۵/۶	۴۳/۸	۴۶/۳	۴۴/۲	۴۳/۵	۴۵/۴	۴۴/۷
Cr <sub>2</sub> O <sub>3</sub>	۰/۰۶	۰/۰۴	۰/۰۱	·	۰/۰۳	·	۰/۰۳	۰/۰۱	·	۰/۱۳	·	۰/۱
Fe <sub>2</sub> O <sub>3</sub> (c)	·	·	۹/۰۴	۸/۶	۷/۳	۷/۲۷	۸/۷۵	۶/۷۶	۸/۱	۹/۲۸	۶/۱۳	۷/۰۷
FeO(c)	۴۲/۵	۳۷	۳۲/۸	۳۲/۶	۳۲/۱	۳۲/۹	۳۲/۱	۳۴/۱	۳۲/۳	۳۱/۶	۳۶/۲	۳۵/۱
MnO	۴/۷۹	۹/۷۱	۷/۴۳	۶/۶۹	۷/۷۴	۷/۷۹	۷/۱۳	۷/۴۹	۷/۱۸	۷/۲۳	۴/۳۸	۴/۸
MgO	۰/۰۴	·	·	·	·	۰/۰۶	·	·	·	۰/۰۵	۰/۰۹	۰/۰۸
CaO	·	۰/۱	·	۰/۰۶	·	۰/۰۶	·	۰/۰۲	۰/۰۴	·	·	·
ZnO	۰/۱۱	۰/۱۲	۰/۱۴	·	۰/۳۸	·	·	·	۰/۰۹	۰/۱۴	·	·
Total	۱۰۱	۱۰۰	۹۶/۴	۹۳/۹	۹۲/۵	۹۳/۷	۹۱/۹	۹۴/۷	۹۲	۹۱/۹	۹۲/۴	۹۲
Ilmenite	۸۹/۶	۷۹	۷۳/۹	۷۵/۹	۷۶/۳	۷۶/۵	۷۴/۲	۷۶/۲	۷۴/۸	۷۳/۱	۸۳/۱	۸۱/۱
Geikielite	۰/۱۵	·	·	۰/۰۱	·	۰/۲۴	·	·	·	۰/۲۱	۰/۳۵	۰/۳۵
Pyrophanite	۱۰/۲	۲۱	۱۷	۱۵/۲	۱۸/۱	۱۷/۸	۱۶/۷	۱۷	۱۶/۸	۱۷	۱۰/۲	۱۱/۲
Hematite	·	·	۹/۱۷	۸/۷۵	۷/۶	۷/۴	۹/۱	۶/۸	۸/۴۲	۹/۶۸	۶/۳۲	۷/۴۴

گرانیتی شیرکوه با میانگین ۸۲۰ و بالاتر است، چنین مذاب-هایی باید در فشار ۴۰۰ تا ۵۰۰ مگاپاسکال (و یا بالاتر) و از طریق ذوب آبزدای بیوتیت تشکیل شده باشند [۲۶].

#### بحث و برداشت

بنابر داده‌های تجربی تولید ماقمای گرانیتی از طریق ذوب بخشی اساساً با واکنش‌های شکستن بیوتیت و موسکویت کنترل می‌شود [۲۷]. مهم‌ترین واکنش ذوب آبزدای موسکویت در سنگ‌های سیلیسی صورت زیر است:

مایع + سیلیکات‌های آلومینیوم‌دار + فلدسپار پتاسیم = آلبیت + کوارتز + موسکویت

بر اساس بررسی‌های تجربی، با اضافه شدن Ca (محتوای آنورتیت در پلازیوکلاز)، واکنش به سمت دماهای بالاتر (یعنی از ۶۲۵ تا ۷۰۰°C در فشار ۵ کیلوبار) سوق می‌یابد [۲۸]. چنانچه موسکویت حاوی مقداری Fe, Mg و Ti، باشد کانی-های دیگری از قبیل کردیریت و بیوتیت ممکن است تشکیل شوند [۲۶]. به طور کلی، به دلیل محدودیت ترکیبی کوچک، ذوب آبزدای موسکویت در یک واکنش تک متغیره رخ می-دهد، و اغلب حجم کمی کوچکی از مذاب‌های پرآلومینین فلزیک در دماهای زیر ۷۵۰ به دست می‌آیند. در حضور

#### دماسنجدی اشباع شدگی از زیرکن

واتسون و هریسون [۲۵] روابط زیر را بین چگونگی حل شدن

زیرکن، دما و ترکیب عناصر اصلی مذاب ارائه کردند:

$$\ln D_{\text{Zr, zircon}/\text{melt}}^{\text{Zr}} = \{-3.8 - [0.85(\text{M}-1)]\} + 12.900/\text{T}$$

(۱)

که در آن  $D_{\text{Zr, zircon}/\text{melt}}$  نسبت غلظت Zr بر حسب ppm در مذاب به همین غلظت در مذاب اشباع شده  $\sim 476\text{ppm}$ ، M یک فاکتور ترکیبی است که بسته به چگونگی حل شدن زیرکن در  $\text{SiO}_2$  و مذاب پرآلومینیته  $[(\text{Na} + \text{K} + 2\text{Ca})/(\text{Al} \times \text{Si})]$  (همگی در کسر کاتیونی) محاسبه می‌شوند، و T دما بر حسب کلوین است که باید به درجه‌ی سانتی‌گراد تبدیل شود. با مرتب کردن این معادله، T را می‌توان برای این مذاب به عنوان دمای اندازه‌گیری شده به روش زمین دماسنجدی در نظر گرفت:

$$T_{\text{Zr}} = 12900 \cdot [2.95 + 0.85M + \ln(469000/Zr_{\text{melt}})]$$

(۲)

دمای اشباع از زیرکن که برآورد خوبی از دمای ماقمای تبلور زیرکن است، بر مبنای این محاسبات برآورد شده است (جدول ۲). این دما برای گرانوودیوریت‌های شیرکوه بین ۸۱۶ و ۸۲۴ تا ۸۳۴ درجه‌ی سانتی‌گراد در برای مونزوگرانیت‌ها از ۷۸۰ تا ۸۳۴ درجه‌ی سانتی‌گراد در تغییر است. با این فرض که دمای خط گداز برای ماقمای

جدول ۲ دمای اشباعی از زیرکن بر حسب درجه‌ی سانتی‌گراد برای واحدهای مختلف باتولیت گرانیتوئیدی شیرکوه (بر اساس [۲۷]).

مونوگرانیت	TZr	گرانوودیوریت	TZr
S.K.۸	۷۹۳/۷	S.K.۱۱	۷۹۸/۵
S.K.۴	۷۶۱/۵	S.K.۲۳	۸۱۲/۷
S.K.۳۹	۷۸۴/۷	S.K.۲۵	۸۲۲/۲
S.K.۵۰	۸۰۴/۷	S.K.۱۵۵	۸۰۶/۲
S.K.۶۶	۷۸۶/۵		
S.K.۷۴	۸۰۴/۵		
S.K.۱۰۰	۷۸۱/۷		
S.K.۱۰۱	۷۸۱/۲		
S.K.۱۰۵	۷۶۳/۲		
S.K.۱۱۱	۷۸۶/۷		
S.K.۱۱۶	۷۸۶/۵		
S.K.۱۲۲	۷۹۰/۵		
S.K.۱۲۳	۷۸۷/۳		
S.K.۱۲۸	۷۸۸/۷		
S.K.۱۳۷	۸۱۲/۷		
S.K.۱۴۲	۸۰۶/۲		
S.K.۱۸۰	۸۰۹/۴		

(۰/۴ اتم بر واحد فرمولی) و الگوی منطقه‌بندی Mn که از مرکز به حاشیه افزایش می‌یابد (۰/۳۲ تا ۰/۱۶)، همگی دلایلی مبنی بر تشکیل آن در دنباله‌ی تبلور است. دو عضو انتهایی مونازیت و برابانتیت تشکیل دهنده‌های اصلی گروه مونازیت هستند. حضور دانه‌های همگن شکل‌دار بزرگ مونازیت فقیر از Th و U همراه با بلورهای ریز برابانتیت (کوچکتر از ۱ تا ۲ میکرومتر) درون و در سطح آپاتیت با انواع مونازیت‌های حاصل از انحلال ناجور آپاتیت طی آناتکسی سنگ‌ها همخوانی دارد. ایلمنیت مهمترین کانی کدر موجود در این باتولیت است و محتوای کمتر از ۱۰٪ هماتیت را که در کانی‌های کدر موجود در مجموعه‌ی بیوتیت ± سیلیمانیت در برگرفته شده است می‌تواند به شرایط احیایی اعمال شده از یک خاستگاه دارای گرافیت وابسته باشد.

با توجه به شواهد ارائه شده از ترکیب کانیایی، حضور بیوتیت‌های رستیتی باقی مانده از ذوب بخشی و دماهای تشکیل گرانیت یاد شده که به خوبی با دمای لازم برای ۸۵۰ تا ۸۵۰ درجه‌ی سانتی‌گراد و فشار بالاتر از ۷ کیلوبار [۲۷] همخوانی دارد، چنین برداشت می‌شود که ذوب بخشی اساساً به واسطه‌ی واکنش‌های شکست بیوتیت و در دمای حدود ۷۵۰ تا ۷۵۰ درجه‌ی سانتی‌گراد صورت گرفته است.

#### قدردانی

اعضای انتهایی گروه مونازیت با استفاده از برنامه‌ای که آقای دکتر کیز لیندوت (Kees Linthout) ارسال کرده بودند محاسبه شد که بدین وسیله از ایشان قدردانی می‌شود.

#### مراجع

- [1] Harangi S. Z., Downes H., Kósa L., Szabó C.S., Thirwall M.F., Mason P.R.D., Mattey D., "Almandine garnet in calc-alkaline volcanic rocks of northern Panonian basin (east-central Europe)", *Geochemistry, petrogenesis and geodynamic implications*. Journal of Petrology 42 (2001) 1813–1843.
- [2] Kawabata H., Takafuji N., "Origin of garnet crystals in calc-alkaline volcanic rocks from the Setouchi volcanic belt", Japan Mineralogical Magazine 69 (2005) 59–179.

کوارتز، پلاژیوکلاز ± سیلیکات‌های آلومینیوم‌دار، بیوتیت در دماهای بالاتری از موسکویت شکسته خواهد شد. مدل واکنش‌های شکست بیوتیت بسته به ترکیب پروتولیت و فشار، به تشکیل یک یا چند کانی مافیک پریتکتیک + مایع منتهی می‌شود، برای مثال:

مایع + گارنت ± کردیریت ± ارتوز = پلاژیوکلاز + کوارتز + بیوتیت در این واکنش کانی‌های اسپینل Fe-Mg، منیتیت تیتانیوم‌دار و ایلمنیت، احتمالاً روتیل، به علاوه بیوتیت‌های جدید (با Mg بیشتر و سرشار از آلومینیم) [۲۹] و ارتوامفیبیول / هورنبلند کلسیک تشکیل می‌شوند. منحنی‌های واکنش آبزدای بیوتیت در فضای P-T به عدد منیزیوم و محتوای Ti بیوتیت و عدد منیزیوم و  $\text{TiO}_2$  سنگ میزان وابسته است. XMg بالاتر و محتوای تیتانیوم بیشتر، منحنی ناپایداری بیوتیت را به دماهای بالاتر سوق می‌دهد [۳۰]. در مقایسه با موسکویت، ذوب آبزدای بیوتیت به مقدار قابل توجهی در گستره‌ی دمایی بالاتر و گستردگی بالاتر (۷۵۰°C تا ۸۵۰°C) صورت گرفته و گرانیت‌های حجمی‌تر را تولید می‌کند [۳۱]. در باتولیت گرانیت‌وئیدی شیرکوه، هر چه از واحد گرانودیبوریتی به سمت لوکوگرانیت‌ها نزدیکتر می‌شوند از محتوای آنورتیت کاسته شده و به درصد آلبیت پلاژیوکلازها افزوده می‌شود. بنابراین گرانودیبوریت‌ها مذاب‌های غنی از پلاژیوکلازهای با مراکز کلسیک، مونزوگرانیت‌ها مذاب جدایشی از گرانودیبوریت‌ها و لوکوگرانیت‌ها مذاب‌های باقی‌مانده تا خیری هستند. همه بیوتیت‌های موجود در واحدهای مختلف باتولیت دارای  $\text{Al}^{IV}$  بالا هستند (۳/۲ تا ۶/۲ اتم بر واحد فرمولی) که از ویژگی‌های آشکار گرانیت‌های پرآلومینیم است. افزایش پیشرونده محتوای آلومینیوم و نسبت  $\text{Fe}^{2+}/(\text{Fe}^{2+}+\text{Mg})$  در بیوتیت‌ها، نشاندهنده‌ی سهم مواد پوسته طی سنگ‌زایی از طریق آناتکسی باتولیت گرانیت‌وئیدی شیرکوه است [۳۲]. نبود  $\text{TiO}_2$  در ساختار موسکویت‌ها بدین معناست که آن‌ها ماقمایی نبوده‌اند و احتمالاً آلومینیم بالای مذاب و تهی شدگی آن از  $\text{FeO}$  و  $\text{TiO}_2$  طی تبلور جدایشی را نشان می‌دهد. خود شکل بودن گارنت، نبود نفوذی، و محتوای  $\text{Fe}^{2+}$  به طور متوسط ۲/۲ اتم بر واحد فرمولی، Mg پایین

- Contribution of Mineralogy and Petrology 100 (1988) 205–212.
- [14] Miller C.F., Stoddard E. F., "The role of manganese in the paragenesis of magmatic garnet: an example from the Old Woman Piute Range, California", Journal of Geology 89 (1981) 233–246.
- [15] Barbarin B., "Genesis of the two main types of peraluminous granitoids", Journal of Geology 24 (1996) 295–298.
- [16] Speer J.A., "Micas in igneous rocks. Reviews in mineralogy", Mineralogical Society of America 13 (1984) 57–368.
- [17] Bialek D., "Zawidów granodiorite from the Lusatian massif in SW Poland Granitoids in Poland", AM Monograph No. 1 (2007) 89–99.
- [18] Förster H.-J., Harlov D.E., "Monazite-(Ce) – buttonite solid-solutions in granulite-facies metabasites from the Ivrea–Verbano Zone, Italy", Mineralogical Magazine 63 (1999) 587–594.
- [19] Pan Y., "Zircon- and monazite-forming metamorphic reactions at Manitouwadge, Ontario", The Canadian Mineralogist 35 (1997) 105–I8.
- [20] Wolf M.D., London, D., "Incongruent dissolution of REE- and Sr-rich apatite in peraluminous granitic liquids: Differential apatite, monazite, and xenotime solubilities during anatexis", American Mineralogist 80 (1995) 765–775.
- [21] Förster H.-J., "The chemical composition of REEY- Th-U-rich accessory minerals in peraluminous granites of the Erzgebirge-Fichtelgebirge region, Germany. Part I: The monazite-(Ce)-brabantite solid solution series", American Mineralogist 83 (1998) 259–72.
- [22] Bowie S.H.U., Horne J.E.T., "Cheralite, a new mineral of the monazite group", Mineralogical Magazine 30 (1953) 93–99.
- [23] Whalen J.B., Chappell B. W., "Opaque mineralogy and mafic mineral chemistry of I- and S-type granites of the Lachlan fold belt. Southeast Australia", American Mineralogist 73 (1988) 281–296.
- [24] Morgan V G. B., D.London, Luedke R.G., "Petrochemistry of Late Miocene Peraluminous Silicic Volcanic Rocks from the Morococala Field, [3] Sengor A.M.C., "A new model for the late Paleozoic–Mesozoic tectonic evolution of Iran and implications for Oman", In: Robertson, A. H. F., Searle, M.P., Ries, A.C. (Eds.), "The Geology and Tectonics of the Oman Region", Geological Society of London. Special Publication 22 (1990) 278–281.
- [4] Sheibi M., Esmaeily D., Nedelec A., Bouchez J. L., Kananian A., "Geochemistry and petrology of garnet-bearing S-type Shir-Kuh Granite, southwest Yazd, Central Iran", Island Arc19 (2010) 292–312.
- [5] White A. R. G., "Water, restite and granite mineralization", Australian Journal of Earth Sciences 48 (2001) 551–555.
- [6] Chappell B. W., White A. J. R., Wyborn D., "The importance of residual source material (restite) in granite petrogenesis", Journal of Petrology 28 (1987) 1111–1138.
- [7] Clarke D.B., Dorais M., Barbarin B., et al., "Occurrence and origin of andalusite in peraluminous felsic igneous rocks", Journal of Petrology 46 (2005) 441–472.
- [8] Troger W.E., "Optische Bestimmung der gesteinbildenden Minerale, Teil 2", Schweizerbartsche Verlagsbuchhandlung, Stuttgart (1982) 822 pp.
- [9] Abdel Rahman A.M., "Nature of biotites from alkaline, calc-alkaline and peraluminous magmas", Journal of Petrology 35 (1994) 525–541.
- [10] Dahlquist J.A., Galindo C., Pankhurst R.J., Rapela C.W., Alasino P.H., Savedra J., Fanning C.M., "Magmatic evolution of the Pení Rosado granite: Petrogenesis of garnet-bearing granitoids", Lithos 95 (2007) 177–207.
- [11] Miller C. F., Stoddard E. F., "The role of manganese in the paragenesis of magmatic garnet: an example from the Old Woman Piute Range, California", Journal of Geology 89 (1981) 233–246.
- [12] Green T.H., Ringwood A. E., "Crystallization of garnet-bearing rhyodacite under high-pressure hydrous conditions", Journal of Geological Society of Australia 19 (1972) 203–212.
- [13] du Bray E.A., "Garnet compositions and their use as indicators of peraluminous granitoid petrogenesis-southeastern Arabian Shield",

- [29] Patiño-Douce A.E., Johnston A.D., "Phase equilibria and melt productivity in the pelitic system: implications for the origin of peraluminous granitoids and aluminous granulites", Contribution of Mineralogy and Petrology (1991), Pet. 107:202–218.
- [30] Vielzeuf D, Montel JM., "Partial melting of metagreywackes. Part I. Fluid-absent experiments and phase relationships", Contribution of Mineralogy and Petrology 117 (1994) 375–393.
- [31] Chen G.N., Grapes R., "Granite Genesis: In Situ Melting and Crustal Evolution", Springer, (2007) 278p.
- [32] Shabani A.A.T., Lalonde A.E., Whalen J.B., "Composition of biotite from granitic rocks of the Canadian Appalachian orogen: a potential tectonomagmatic indicator?" Canadian Mineralogist 41 (2003) 1381–1396.
- Bolivia", Journal of Petrology 39 (1998) N. 4, 601-632.
- [25] Watson E. B., Harrison T. M., "Zircon saturation revisited: Temperature and composition effects in a variety of crustal magma types", Earth and Planetary Science Letters 64 (1983) 295–304.
- [26] Patino Douce A. E., Harris N., "Experimental constraints on Himalayan anatexis", Journal of Petrology 39 (1998) 689–710.
- [27] Clemens J.D, Vielzeuf D., "Constraints on melting and magma production in the crust", Earth and Planetary Science Letters 86 (1987) 287-306.
- [28] Thompson A. B., Algor J. R., "Model systems for anatexis in pelitic rocks: I. Theory of melting reactions in the systems  $KAlO_2-NaAlO_2-Al_2O_3-SiO_2-H_2O$ ", Contribution of Mineralogy and Petrology 63 (1977) 247–269.